

碎波帯における方向スペクトルの観測例

伊福 誠*・柿沼忠男**・油井秀人***

1. まえがき

海岸工学上、港湾内の回折波、冲合いの構造物の運動解析、掘削船の運動予測および海浜における底質の運動などを議論する際には波浪の方向スペクトル特性を十分に考慮する必要がある。とくに、海浜における底質の運動を調べる場合には、波浪の入射方向および水平流速成分の卓越方向を適確に把握することが重要である。

この研究は、現地観測によって、波浪の運動機構が極めて複雑である碎波帯における方向スペクトルに関する基礎的資料を得ようとしたもので、観測は愛媛県中予海岸において1981年12月14日から1982年1月28日まで風速6.5~12.0 m/secでの冬期季節風時に実施した。

2. 観測地点および流速計と圧力計の設置法

図-1は、観測地点とその付近の平均断面を示したもので、観測地点の平均水深および平均海底勾配は1.52mおよび0.096である。

使用した電磁誘導型流速計 MODEL 551 (MARSH-McBIRNEY社製)は、2台のセンサが直交するように1台の流速計に他の1台をステンレス製のバンドで取り付け、ステンレス製の架台に固定し、重さ約60kgおよび90kgのコンクリート製ブロック、それぞれ8個および2個で設置した。

2個の流速計センサおよび圧力計 (Setra Systems社

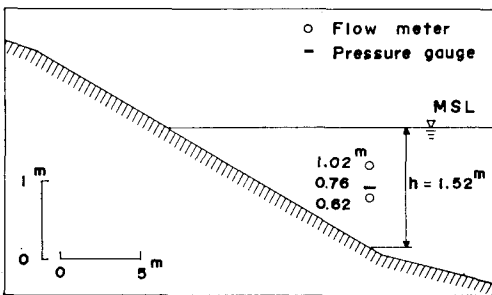


図-1 観測地点と平均断面図

製 MODEL 205-2)は、それぞれ、海底上0.62, 1.02および0.76mの高さにあり、上部センサでは岸沖および沿岸方向の流速、下部のセンサでは岸沖および鉛直方向の流速を測定した。

3. 解析方法

方向スペクトルは2台の流速計および圧力計で得た資料から次の二つの組み合わせで求める。

M-1: 水平流速成分と圧力変動

M-2: 水平流速成分と鉛直流速成分

ただし、2個の流速計センサおよび圧力計が同一の高さにないことから、線型理論を適用して換算し、すべて海底上1.02mの高さにあるものとして、0.024~0.464Hzの周波数帯について解析した。

圧力変動、水平および鉛直流速成分の資料の読み取り間隔および個数は0.2secおよび2048個である。

4. 解析結果

表-1は、得た有義波高、有義波周期および目視観測に基づく各資料における碎波の発生頻度を示したものである。以後、Run No. 28-3~6を非碎波、Run No. 28-8~11を碎波し始め、Run No. 28-12および13を碎波と呼ぶことにする。Run No. 28-13は碎波点が観測点より僅かに沖側である。なお、碎波型式はspilling型である。

表-1 有義波高、有義波周期および碎波の発生頻度

Run No.	$H_{1/3}$ (m)	$T_{1/3}$ (sec)	Numbers of breakers	Numbers of waves	Frequency
28-3	1.11	4.85	2	91	0.02
28-4	1.22	4.85	5	87	0.06
28-6	1.09	5.06	8	87	0.09
28-8	1.16	5.64	17	83	0.20
28-9	1.06	5.65	20	84	0.24
28-10	1.18	5.78	30	80	0.38
28-11	0.99	5.94	38	85	0.45
28-12	1.02	5.93	59	85	0.69
28-13	0.86	6.16	66	82	0.81

(1) パワースペクトルの経時変化

図-2(a)および(b)は、それぞれ、圧力変動およ

* 正会員 工修 愛媛大学講師 工学部海洋工学科

** 正会員 工博 愛媛大学教授 工学部海洋工学科

*** 学生会員 愛媛大学大学院工学研究科

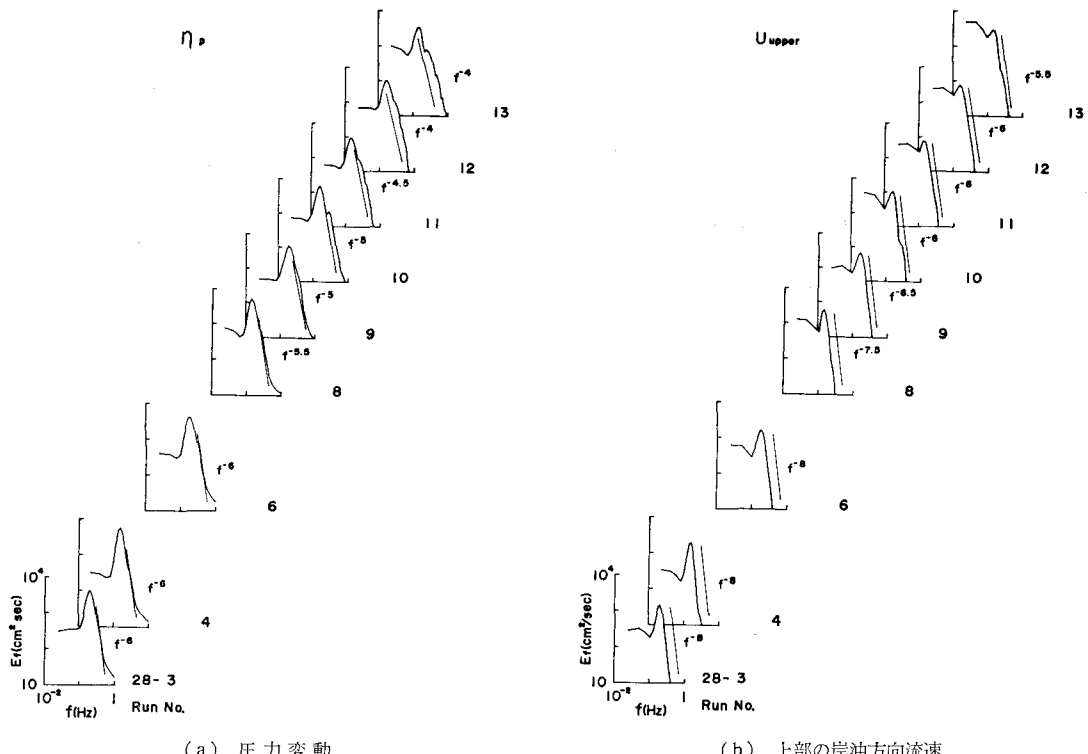


図-2 パワースペクトルの経時変化

び上部の岸沖方向流速のパワースペクトルの経時変化を示したものである。(a)をみると、ピーク周波数より高周波側のエネルギー密度は周波数の -6 乗から -4 乗に比例し、碎波の発生頻度が高くなるにつれて勾配も小さくなり 0.1 Hz より低周波側のエネルギー密度が徐々に大きくなることがわかる。(b)をみると、ピーク周波数より高周波側のエネルギー密度は周波数の -8 乗から

-5.5 乗に比例し、(a)と似た傾向を示しているが、Run No. 28-13 は 0.06 Hz より低周波側のエネルギー密度は 0.15 Hz 付近より大きくなっている。下部の岸沖方向の流速のエネルギー密度は全周波数帶で上部より小さいことを除けば(b)と似た傾向を示している。また、鉛直方向流速は碎波の発生頻度が高くなるにつれて、ほぼ 0.2 Hz より低周波側のエネルギー密度が大き

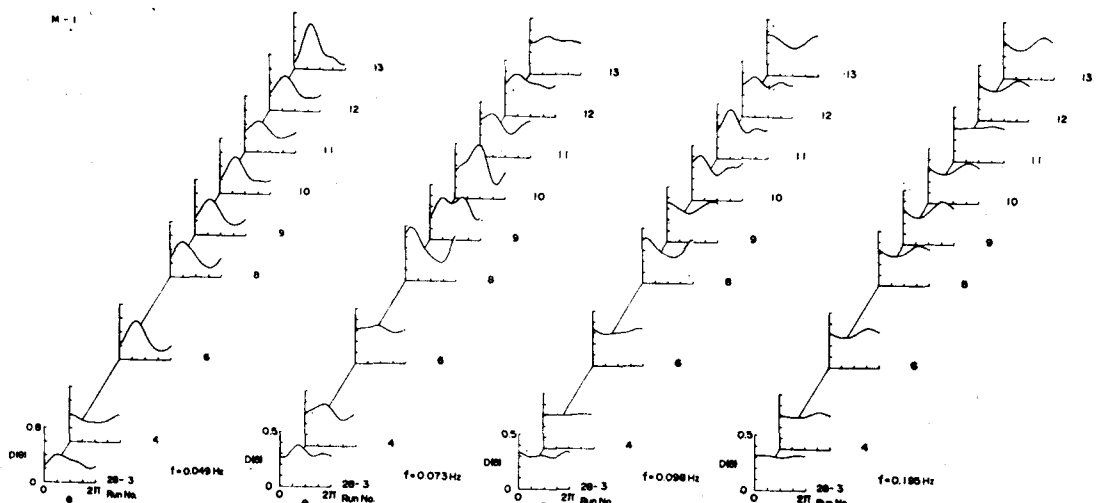


図-3 方向分布関数の経時変化

くなり、それより高周波側では周波数の -5 乗から -3 乗に比例する。岩垣ら¹⁾に従い波動成分分離法を使用して乱れを抽出すると、こうしたエネルギー特性をもつ鉛直方向流速の乱れ強度 $\sqrt{w'^2}$ は水平方向流速の乱れ強度 $\sqrt{u'^2}$ のほぼ0.3倍であり、レイノルズ応力 $-u'w'$ は水平方向流速の乱れ強度と鉛直方向流速の乱れ強度の積 $\sqrt{u'^2}\sqrt{w'^2}$ のほぼ0.7倍である²⁾。

(2) 方向分布関数

図-3は、0.049, 0.073, 0.095および0.195 Hzにおける方向分布関数の経時変化を示したものである。この図をみると碎波し始めると0.049 Hzといった低周波数では、エネルギー密度は沖側より岸側が大きく、碎波の発生頻度が高くなるにつれてそうした傾向が顕著になる。また、0.073 Hzおよび0.098 Hzでは0.049 Hzにくらべ沖側のエネルギー密度が大きく、岸側と沖側のエネルギー密度の差が小さいようである。碎波の発生頻度が低い碎波し始めでも、岸側のエネルギー密度が沖側より大きいことは、観測地点より岸側で頻繁に碎波がおこりその反射あるいは戻り流れのエネルギーが碎波と同程度の大きさによるとと思われる。こうしたことから、碎波帶内においては0.049 Hzあるいは0.073 Hzといった低周波数成分波が常に存在すると思われる。非碎波の資料をみると、周波数が高くなるにつれて岸側と沖側のエネルギー密度の差が小さくなり、0.098 Hzではエネルギーの卓越方向がないようである。また、圧力変動のピーク周波数付近の0.195 Hzにおける方向分布関数は非碎波、碎波し始めおよび碎波とも沖側のエネルギー密度が岸側より大きい。

(3) 反射率

(2)において岸側のエネルギー密度が沖側より大きい周波数があり、低周波数成分波が常に存在することがわかった。こうしたことから、各成分波のprincipal direction³⁾のエネルギー密度と反射方向のエネルギー密度から式(1)で反射率 K_R を定義する。

$$K_R = \sqrt{\frac{\text{反射方向のエネルギー密度}}{\text{principal direction のエネルギー密度}}} \quad \dots \dots \dots (1)$$

図-4は、式(1)で求めた反射率を周波数ごとに示したもので、図中の白丸および黒丸は、それぞれRun No. 28-12および13のものである。この図をみると、0.049 Hzでは両資料とも最大で1より大きく、0.2 Hzでは最も小さく0.2程度であり、それより高周波側ではばらついてはいるものの0.7程度であることがわかる。0.1 Hzより低周波側での反射率が1程度であるのは、碎波帶内に常に存在する低周波数成分波が沖側とほぼ同じ大きさのエネルギーをもつことを示している。

図-5は、現地海岸の状況から海岸を不透過粗面の斜

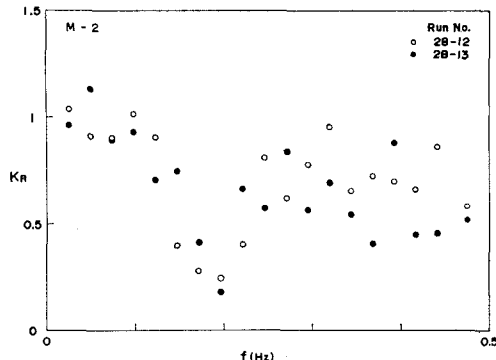


図-4 反射率(碎波)

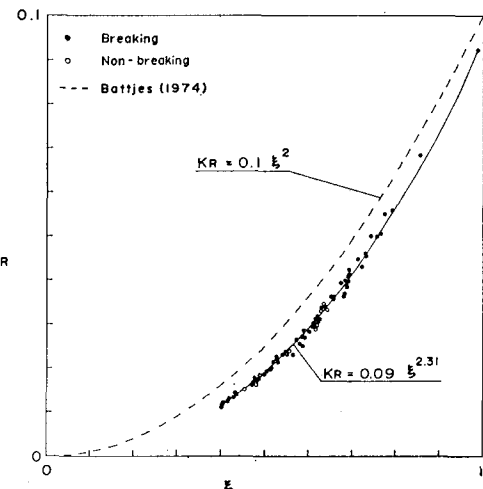


図-5 反射率とsimilarity parameterとの関係

面と考え Miche の式⁴⁾中の斜面の性質をあらわす係数を0.8として求めた反射率と Battjes⁵⁾が提唱した similarity parameter との関係を示したもので図中には Battjes が得た結果を破線で示している。なお、白丸は観測地点より岸側で碎波したものである。この図をみると、反射率は Battjes の値よりも6~20%程度小さいが似た傾向をしていることがわかる。なお、Battjes は similarity parameter が0.4より小さい範囲で spilling 型碎波が生ずるとしているが、目視による観測からはその値より大きい範囲で spilling 型碎波が生じている。図-5中の波の周期は5 sec程度であるので図-4の0.2 Hz付近の反射率とくらべると式(1)で求めた反射率は Miche の式から求めたそれのほぼ2~20倍である。

(4) peakedness

エネルギーの方向分散の指標である peakedness $I_{\min}/a_0/\psi^4$ と周波数を圧力変動のパワースペクトルのピーク周波数で無次元化した周波数 f/f_p との関係を碎波の資料について示したものが図-6である。この図をみると、ばらつきはあるものの圧力変動のピーク周波数付近

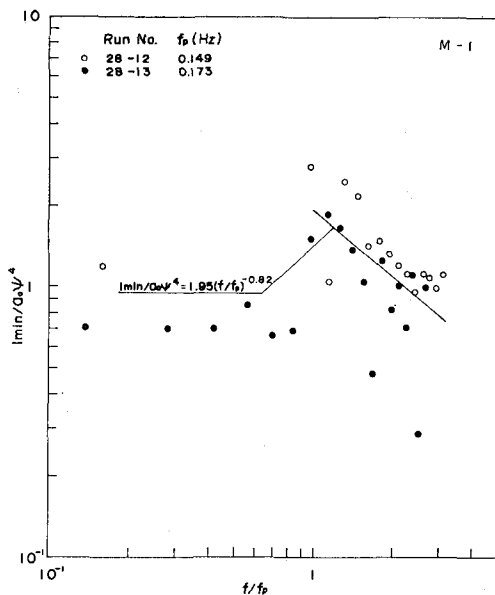


図-6 peakedness と無次元周波数との関係(碎波)

におけるエネルギーの方向分散は小さく、ピーク周波数より高周波側ではエネルギーの方向分散が大きくなることがわかる。非碎波、碎波し始めおよび碎波の資料について、無次元周波数がより大きい範囲において次のような近似式を得た。

$$\begin{aligned} I_{\min}/a_0 \psi^4 &= 2.13(f/f_p)^{-1.14} && \text{非碎波} \\ I_{\min}/a_0 \psi^4 &= 2.58(f/f_p)^{-1.06} && \text{碎波し始め} \\ I_{\min}/a_0 \psi^4 &= 1.95(f/f_p)^{-0.82} && \text{碎波} \end{aligned} \quad \dots \quad (2)$$

この近似式から、碎波の発生頻度が高くなるにつれて無次元周波数が1より大きい範囲では圧力変動のピーク周波数成分波の方向分散とそれより高周波数成分波の方向分散との差が小さくなることがわかる。

(5) long-crestedness

波浪の伝播方向を示す long-crestedness と無次元周波数との関係を碎波の資料の一つである Run No. 28-12について示したもののが図-7 である。岩田⁶⁾の経験値である。岩田は、相模湾の岸から 1.3 km 離れた水深 20 m にある観測塔で容量式波高計および超音波式流速計により得た資料から long-crestedness を求め、Preston⁷⁾が地上における大気の乱流圧力変動から求めたものと比較したところ、両者は良く合うことを報告している。図-7 をみると、long-crestedness は圧力変動のピーク周波数で最小であり、経験値のほぼ半分である。

各資料について調べてみると、非碎波はピーク周波数付近において大気の乱流圧力変動あるいは深海波とくらべて波向が比較的揃っていること、碎波し始めは大気の乱流圧力変動あるいは深海波とよく似た傾向を示し、その値は経験値のほぼ半分であること、碎波はピーク周波

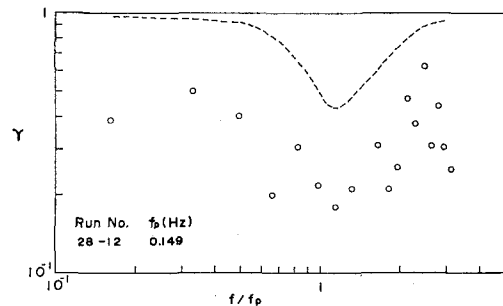
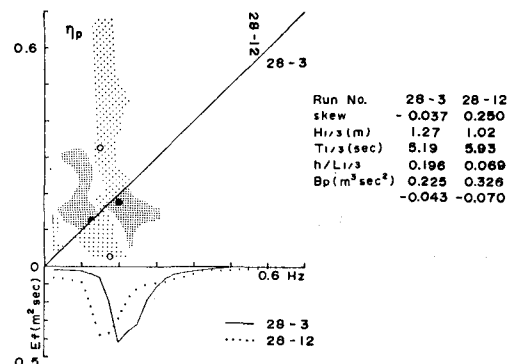


図-7 long-crestedness と無次元周波数との関係(碎波)

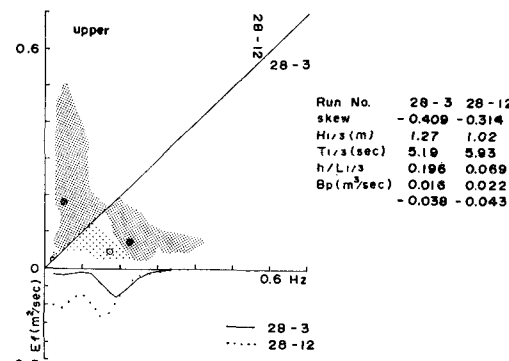
数より低周波側においてはピーク周波数からそのほぼ 6割までの間では経験値とよく似た傾向を示すが、それより低周波数においてはほぼ一定の値をとり経験値と異なった傾向を示すことがわかった。

(6) バイスペクトル

図-8 (a) および (b) は、それぞれ、圧力変動および上部の岸沖方向流速のバイスペクトルについて示したものであり、密な影を付けた部分はバイスペクトル密度が正で、かつバイスペクトルピーク値の 20% より大きい領域を示し、粗い影を付けた部分は、バイスペクトル密度が負で、その絶対値が負のバイスペクトルピークの



(a) 圧力変動



(b) 上部の岸沖方向流速

図-8 バイスペクトル

絶対値の 20% より大きい領域を示している。(a) は圧力変動のピーク周波数が 0.198 Hz の非碎波と 0.149 Hz の碎波のものである。ピーク周波数が低周波側へ移るにともない、正および負の領域も移動しているが、ピーク周波数成分と高周波数成分との干渉が強くなっている。また、正および負のバイスペクトル密度のピークの絶対値も碎波のものが大きく、碎波の成分波間の干渉が強いことを示している。(b) は岸沖方向流速のピーク周波数が 0.193 Hz の非碎波と 0.149 Hz の碎波のものである。碎波のほぼ 0.04 Hz から 0.15 Hz にかけてのエネルギー密度は非碎波のほぼ 2 ~ 8 倍であり、そうした周波数成分間の干渉が強くなり正の領域がかなり大きくなっている。圧力変動および上部の岸沖方向流速とも碎波の場合の各成分波間の干渉が強いが、ピーク周波数成分と高周波数成分との干渉は圧力変動と岸沖方向流速でその符号が逆である。

5. 結 語

以上、著者らは碎波帶において圧力変動、水平方向および鉛直方向流速の観測を実施し、スペクトル法によって種々の発生頻度における spilling 型碎波について調べた。その結果、圧力変動および岸沖方向流速のピーク周波数より高周波側と鉛直方向流速の 0.2 Hz より高周波側では、エネルギー密度は碎波の発生頻度が高くなるにつれてその勾配が小さくなること、碎波帶内においては 0.049 Hz あるいは 0.073 Hz といった低周波数成分波が常に存在し、エネルギー密度は冲側より岸側が大きいこと、principal direction と反射方向のエネルギー密度から求めた反射率は 0.049 Hz といった低周波数で 1 度程で 0.2 Hz 付近で最小となり、その値はほぼ 5 sec 周期

の波に対して Miche の式から求めた反射率の 2~20 倍程度であること、Miche の式から求めた反射率は同一の similarity parameter に対する Battjes の値より 6~20% 程度小さいこと、碎波の発生頻度が高くなるにつれて、圧力変動のピーク周波数成分波とそれより高周波数成分との方向分散の差が小さくなること、long-crestedness は碎波し始めでは大気の乱流圧力変動あるいは深海波と良く似た傾向を示しその値はほぼ半分であり、碎波では圧力変動のピーク周波数の 6 割より低周波数においてほぼ一定の値をとり異なった傾向を示すこと、バイスペクトルは碎波の場合、各成分波間の干渉が強いが、ピーク周波数成分と高周波数成分との干渉は圧力変動と岸沖方向流速でその符号が逆であること、などを得た。

参 考 文 献

- 1) 岩垣雄一・浅野敏之・小谷敏樹: 周期波と流れの共存場における乱れの定義とその特性について、第28回海岸工学講演会論文集, pp. 10~14, 1981.
- 2) 栗原 煉・伊福 誠・柿沼忠男: 碎波帶における浮遊砂の観測、昭和 59 年度土木学会中国四国支部研究発表会講演概要集, pp. 133~134, 1984.
- 3) Nagata, Y.: The statistical properties of orbital wave motions and their application for the measurement of directional spectra, Jour. Oceanogr. Soc. Japan, Vol. 19, No. 4, pp. 169~181, 1964.
- 4) 土木学会編: 水理公式集, p. 504, 1971.
- 5) Battjes, J. A.: Surf similarity, Proc. 14th Conf. Coastal Eng., pp. 466~480, 1974.
- 6) Iwata, N.: Directional energy distribution of wind waves, Jour. Oceanogr. Soc. Japan, Vol. 27, No. 3, pp. 102~108, 1971.
- 7) Priestley, J. T.: Correlation studies of pressure fluctuations on the ground beneath a turbulent boundary layer, Nat. Bur. Std. Ann. Rep. 8942, pp. 1~91, 1965.